

# STAT3 小分子化合物 LLL-HS-1 抑制人肺癌 A549 细胞增殖的研究

侯新垓<sup>1</sup>, 刘长<sup>1</sup>, 阮祥信<sup>1</sup>, 李永蓉<sup>2</sup>, 徐姗<sup>2</sup>, 宋丹丹<sup>2</sup>, 李媛媛<sup>2</sup>,  
聂艳丽<sup>3</sup>

(1. 三峡大学第三临床学院, 葛洲坝中心医院, 湖北 宜昌 443000; 2. 华中师范大学  
化学学院, 湖北 武汉 430079; 3. 湖北省肿瘤医院, 湖北 武汉 430079)

**摘要:**[目的]探讨信号转导与转录因子 3(STAT3)在肺癌细胞中的表达,并观察以其为靶点的化合物 LLL-HS-1 腹腔给药对肿瘤的抑制作用。[方法]皮下接种 A549 细胞成瘤 1 周后,15 只小鼠随机 3 组,以低剂量(10mg/kg)和高剂量(20mg/kg)LLL-HS-1 腹腔给药,对照组接受安慰剂。采用 Western blot 检测肺癌 A549 细胞蛋白中 STAT3 的表达及其磷酸化 STAT3 (p-STAT3) 状态。最终以肿瘤体积大小为衡量药效学的指标。[结果]体外研究发现,化合物 LLL-HS-1 可以抑制 STAT3 酪氨酸残基 705 磷酸化,而且具有靶点特异性。持续 3 周给药,发现高和低剂量组对肿瘤的增长有明显的抑制效果,平均肿瘤体积分别为  $(336.8 \pm 60.5)\text{mm}^3$ ,  $(487.2 \pm 78.6)\text{mm}^3$ , 明显小于对照组  $(1989.5 \pm 214.3)\text{mm}^3$  ( $F=33.8, P=0.0001$ ;  $F=17.4, P=0.005$ )。对照组瘤重明显高于高和低剂量组,各组间比较,  $F=9.2, P=0.02$ 。[结论]化合物 LLL-HS-1 对肺腺癌细胞有明显抑制作用,可能通过下调 STAT3 的磷酸化,诱导肿瘤细胞凋亡来实现。

**主题词:**信号转导与转录因子 3;裸鼠;肺肿瘤;LLL-HS-1

**中图分类号:**R734.2   **文献标识码:**A   **文章编号:**1671-170X(2016)07-0565-04

doi:10.11735/j.issn.1671-170X.2016.07.B008

## Study on the Inhibition of Small Molecule Compound of STAT3 LLL-HS-1 on Proliferation of Human Lung Cancer Cells A549

HOU Xin-gai, LIU Chang, RUAN Xiang-xin, et al.

(The Third Clinical College of Three Gorges University, the Central Hospital of Gezhou Dam, Yichang 443000, China)

**Abstract:** [Objective] To investigate the expression of the signal transduction and transcription factor 3 (STAT3) in lung cancer cells, and to study the inhibition of LLL-HS-1 intraperitoneal administration targeting on STAT3 on proliferation of tumor. [Methods] After one week of subcutaneous inoculation of A549 cells in mice, 15 mice were randomly divided into three groups: low-dose group (10mg/kg), high-dose group (20mg/kg), and control group (placebo). Protein expression of STAT3 and phosphorylated STAT3 (p-STAT3) state were detected by Western blot method. Tumor volume was analyzed as final pharmacodynamic indicator. [Results] The study in vitro indicated that LLL-HS-1 inhibited phosphorylation of STAT3 tyrosine residue 705 with a target-specificity. After three weeks administration, LLL-HS-1 significantly inhibited tumor growth. Average volumes in high- and low-dose groups were significantly less than those in the control group [ $(336.8 \pm 84.5)\text{mm}^3$  and  $(487.2 \pm 96.1)\text{mm}^3$  vs  $(1989.5 \pm 234.3)\text{mm}^3$  ( $F=33.8, P=0.0001$ ;  $F=17.4, P=0.005$ )]. Tumor's weight in control group was significantly higher than that in high- and low-dose group ( $F=9.2, P=0.02$ ). [Conclusion] LLL-HS-1 might significantly inhibit lung adenocarcinoma cells, which is possibly through down-regulation of STAT3 phosphorylation, and inducement of apoptosis in cancer cells.

**Subject words:** signal transduction and transcription factor 3; nude mice; lung neoplasms; LLL-HS-1

晚期肺癌患者的 5 年生存率低于 5%, 针对

**基金项目:**武汉市重点攻关计划(201161038347)

**通讯作者:**聂艳丽,主治医师,硕士;湖北省肿瘤医院内科,湖北省武汉市卓刀泉南路 16 号(430079);E-mail:nyl0118@163.com

**收稿日期:**2015-07-13;修回日期:2016-04-05

EGFR 基因突变或 ALK 融合基因的小分子药物,使肺癌的治疗效果得到了前所未有的提高,客观缓解率可以达到 55%~90%<sup>[1]</sup>。最新的阻断免疫检查点抗体的治疗,也可取得明显疗效,但只有约 20% 的反

应率。因此,对于无法从靶向和免疫治疗中获益的晚期肺癌患者或耐药的患者,最终只能通过传统的化疗控制病情,不良反应大,且疗效有限。

信号转导和转录激活因子3 (signal transducer and activator of transcription 3, STAT3),是促进细胞因子和生长因子转录的一种翻译分子<sup>[2,3]</sup>。细胞表面细胞因子和生长因子受体的上调可激活 Janus 激酶 (Janus kinase, JAK) 家族的蛋白激酶,导致 STAT3 酪氨酸 705 残基磷酸化,从而激活两个 STAT3 单体二聚化<sup>[4]</sup>。

JAK2/STAT3 信号是传递外膜表面信号至细胞核内的通路之一,控制细胞生长,分化,衰老和凋亡过程<sup>[5]</sup>。研究发现,此通路在人类肿瘤如乳腺癌、肺癌、胰腺癌、卵巢癌、皮肤癌、肾癌以及部分造血系统肿瘤中明显上调。JAK2/STAT3 的持续激活不仅诱导癌症的形成,也会导致癌细胞抵抗凋亡<sup>[4-9]</sup>。此外,JAK2/STAT3 持续激活也会损害免疫系统导致免疫耐受,使癌细胞逃避免疫监控。因此,抑制 JAK2/STAT3 的磷酸化是癌症治疗的可能靶点。

我们前期的研究发现,化合物 LLL-HS-1 可以有选择地抑制 STAT3 酪氨酸 705(pY705)单体的二聚化,明显抑制多发骨髓瘤、胰腺癌、结肠癌细胞的生长<sup>[10-12]</sup>。但 LLL-HS-1 对肺腺癌的作用尚不清楚,因此我们对此化合物在体外和体内对肺腺癌的抑制效果进行探讨。

## 1 材料与方法

### 1.1 材料

细胞株:人肺癌 A549 细胞株(购自武汉大学中国典型培养物保藏中心)。

实验动物:BLBA/c 雌性裸小鼠(购自北京市维通利华实验动物有限公司,生产许可证号 SCXK (京) 2006-0009),共 25 只,4~6 周龄,体重 18.0~22.0g,SPF 条件下饲养(湖北省肿瘤医院动物实验室)。

主要试剂:1640 培养液、胎牛血清、胰蛋白酶、HTScan (R)JAK2 激酶检测试剂盒(No7752),LLL-HS-1 由俄亥俄州立大学 Tom Li 教授惠赠。

注射药物配制:高剂量和低剂量给药组的溶剂为 10%DMSO,18%Cremaphor EL 和 72% 的 5% 葡萄糖水注射液。给药组高剂量(20mg/kg)浓度为 4mg/ml;

低剂量组(10mg/kg)浓度为 2mg/ml;对照组给安慰剂(溶剂)。

### 1.2 方法

#### 1.2.1 人肺癌细胞体外实验

在 37℃,含 5%CO<sub>2</sub> 的细胞培养箱中培养肺癌 A549 细胞,胰酶消化对数期细胞,终止后收集,制成细胞悬液,细胞计数调整其浓度至 (5~10)×10<sup>4</sup> 个/ml。将细胞悬液制备好后,轻轻混匀,加入到 96 孔培养板中,每孔加入 100μl,使得待测细胞的密度为 3000/孔(边缘孔用无菌 PBS 填充)。将接种好的细胞培养板放入培养箱中培养,至细胞单层铺满孔底(96 孔平底板),加入浓度梯度的 LLL-HS-1(1mg/L,2mg/L,5mg/L 和 10mg/L),设置 4 个复孔。72h 后加入配制好的 0.4% 台盼蓝染剂,5~10min 后在显微镜下观察细胞生长情况。

#### 1.2.2 检测肺癌细胞蛋白中 STAT3 的表达

在冰水浴上裂解离心细胞之后,取上清液分装于 1ml 的离心管中并置于-80℃保存。蛋白定量后进行 SDS-PAGE 凝胶电泳。转膜后凝胶上的蛋白转移至硝酸纤维素膜,脱脂奶粉封闭 4℃过夜,用相关试剂盒处理后进行 Western blot 分析。采用所测 STAT3、p-STAT3 条带与内参 GAPDH 条带的积分密度比值来表示 STAT3 及其磷酸化程度。

#### 1.2.3 人肺癌细胞接种

复苏的肺癌细胞株 A549 大量培养,取对数生长期的肺癌细胞,经细胞计数达到 5×10<sup>7</sup> 个/ml 后接种于裸鼠的左后肢,每只接种 0.15ml。

#### 1.2.4 给药对 A549 肺癌小鼠瘤重的影响

成瘤 1 周后,选取 15 只成瘤裸鼠随机分为 3 组给药治疗,分别为低剂量组 (10mg/kg)、高剂量组 (20mg/kg)、对照组(安慰剂,LLL-HS-1 溶剂)。每天上午同一时间给药治疗,腹腔注射,7d/周,共 3 周,每 2d 裸鼠称重,每天测量肿瘤的最长径(a)和最短径(b),最终衡量疗效的指标为肿瘤的体积,肿瘤体积=  $(\pi/6)ab^2$ 。

### 1.3 统计学处理

连续变量以平均值±标准差表示,采用  $\chi^2$  检验和精确概率法。所有 P 值均为双侧,P<0.05 视为有统计学意义。均数的比较采用 t 检验或 ANOVA。数据处理采用 SPSS13.0 统计软件。

## 2 结 果

### 2.1 体外 LLL-HS-1 对肺癌细胞中的 STAT3 和 p-STAT3 表达的影响

用针对 STAT3 总蛋白和第 705 位酪氨酸 p-STAT3 抗体检测肺癌细胞中 STAT3 和 p-STAT3 蛋白。Western blot 分析结果表明：在该肺癌细胞系存在持续的 STAT3 激活。体外 LLL-HS-1 对 STAT3 酪氨酸残基 705 磷酸化存在明显抑制作用，但对 Src 和 ERK1/2 的磷酸化无明显影响，提示 LLL-HS-1 对 STAT3 具有特异性(Figure 1)。

### 2.2 体外 LLL-HS-1 对细胞增殖的抑制

在倒置荧光显微镜下观察，细胞损伤或死亡时，台盼蓝可穿透变性的细胞膜，与解体的 DNA 结合，使细胞显示蓝色。而活细胞能阻止染料进入细胞内。通过对比加药组和未加药组，明显可见给药组的活细胞数少，死细胞数较多，说明了在细胞水平，LLL-HS-1 可以抑制 A549 细胞增殖(Figure 2)。

### 2.3 移植瘤裸鼠生长情况及肿瘤体积的变化情况

将肺癌细胞悬液接种裸鼠左后肢 3 天，可见接种部位出现米粒大小的瘤块，10d 左右肿瘤直径可达 5mm 左右，1 周左右，裸鼠会出现少食情况。随机分组后，进行给药治疗，各组小鼠体重和瘤重无明显差异(Table 1)。高剂量组肿瘤增长速度缓慢，低剂量组肿瘤增长速度居中，对照组肿瘤明显增大(Table 2)。而裸鼠右后肢未见肿瘤出现。

## 3 讨 论

JAK2/STAT3 通路与肿瘤形成紧密相关，STAT3 激活后将诱导与细胞增殖、分化、生存、凋亡密切相关的关键基因的异常高表达，通过各种途径促进细胞增殖、恶性转化、血管形成、阻碍细胞凋亡，表现出致癌的作用。

目前 STAT3 的显性负突变，反义 STAT3 寡核苷酸，以及诱骗寡核苷酸等方法<sup>[13]</sup>已用于抑制 JAK/STAT 通路。然而其具有一定局限性。另一种策略是通过抑制剂结合到 SH2 结构域而阻止 STAT3 二聚化。肽基础的 STAT3 二聚抑制剂已经报道<sup>[14]</sup>，但这种多肽抑

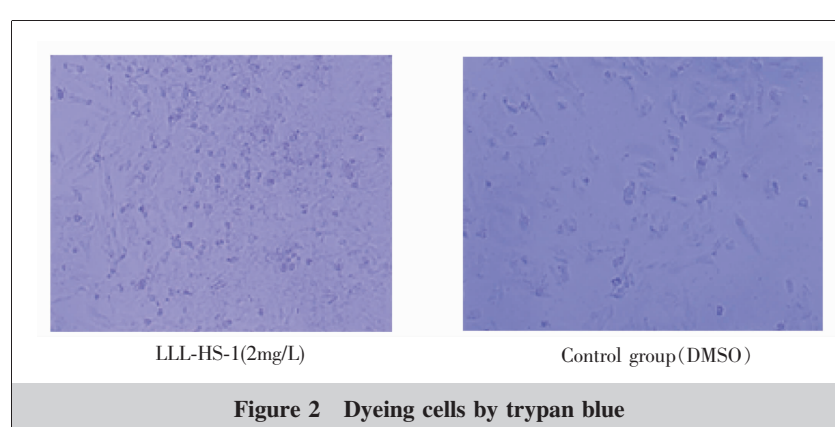
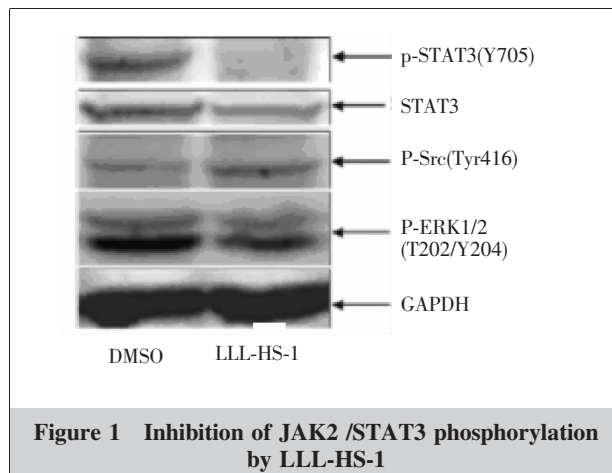


Table 1 The weights of inoculated nude mice with lung cancer cells and their tumors

| Groups    | Weight(g)              |                  | Weight of tumor (g) <sup>▲</sup> | Inhibition rate (%) |
|-----------|------------------------|------------------|----------------------------------|---------------------|
|           | Beginning <sup>*</sup> | End <sup>△</sup> |                                  |                     |
| Control   | 19.9±1.1               | 21.2±1.5         | 1.1±0.6                          | -                   |
| Low-dose  | 20.5±1.1               | 22.1±1.4         | 0.5±0.3                          | 50.4                |
| High-dose | 20.1±1.0               | 21.7±1.6         | 0.4±0.2                          | 56.8                |

Note: Comparison of 3 groups, \*:F=1.0, P=0.6; △:F=1.1, P=0.6; ^:F=9.2, P=0.02.

Table 2 The tumor volumes of inoculated nude mice with lung cancer cell

| Groups    | Before treatment        | Volume of tumor(mm <sup>3</sup> ) |             |                           |
|-----------|-------------------------|-----------------------------------|-------------|---------------------------|
|           |                         | 7d                                | 14d         | 21d                       |
| Control   | 256.3±46.3 <sup>*</sup> | 422.5±78.8                        | 911.6±119.2 | 1989.5±214.3 <sup>△</sup> |
| Low-dose  | 248.2±39.5              | 366.4±53.4                        | 397.4±62.1  | 487.2±78.6 <sup>○</sup>   |
| High-dose | 242.1±41.4              | 260.4±43.7                        | 305.4±53.5  | 336.8±60.5 <sup>●</sup>   |

Note: Comparison among 3 groups, \*:F=1.3, P=0.5; △:F=26.9, P=0.004; ^:vs low-dose group, F=17.4, P=0.005; ○:vs high-dose group, F=2.1, P=0.3; ●:vs high-dose group, F=33.8, P=0.0001.

制剂在体内的稳定性和细胞渗透性差。最近,也已报道一些新型 JAK2 抑制剂,如 TG101348<sup>[15]</sup>。因此,利用结构为基础的计算机高通量虚拟筛选的设计发现了一种化合物 LLL-HS-1,可以选择地抑制已磷酸化的 STAT3 酪氨酸 705(pY705)单体的二聚化,直接以 JAK2/STAT3 通路为靶点。

本实验的体外研究发现,化合物 LLL-HS-1 对肺癌组织中 STAT3 表达及磷酸化有明显抑制的作用,药效学分析表明,2mg/L 的 LLL-HS-1 对 STAT3 的磷酸化有显著的抑制作用,而且具有靶点特异性。随着作用的时间不同以及药物浓度的不同,LLL-HS-1 对肿瘤的增长表现出来的抑制效果也不相同。而在体内动物实验研究中,药物浓度对肿瘤的抑制效果之间存在一定的依赖作用,浓度越高,对肿瘤的抑制效果越明显。因此,化合物 LLL-HS-1 处理 A549 细胞的最佳药物浓度及作用时间可以作进一步的研究。

本研究提示以 STAT3 为治疗靶点,设计更有效的癌症治疗新方法有一定可行性,值得进一步研究。

## 参考文献:

- [1] Borghaei H,Paz-Ares L,Horn L,et al. Nivolumab versus docetaxel in advanced nonsquamous non-small-cell lung cancer[J]. *N Engl J Med*,2015,373:1627–1639.
- [2] Horvath CM,Darnell JE. The state of the STATs: recent developments in the study of signal transduction to the nucleus[J]. *Curr Opin Cell Biol*,1997,9(2):233–239.
- [3] Lin L,Hutzen B,Li PK,et al. A novel small molecule, LLL12, inhibits STAT3 phosphorylation and activities and exhibits potent growth-suppressive activity in human cancer cells[J]. *Neoplasia*,2010,12(1):39–50.
- [4] Steelman LS,Abrams SL,Whelan JE,et al. Contributions of the Raf/MEK/ERK,PI3K/PTEN/Akt/mTOR and Jak/STAT pathways to leukemia [J]. *Leukemia*,2008,22(4):686–707.
- [5] Grandis JR,Drenning SD,Chakraborty A,et al. Tweardy, requirement of Stat3 but not Stat1 activation for epidermal growth factor receptor-mediated cell growth in vitro [J]. *J Clin Invest*,1998,102(7):1385–1392.
- [6] Catlett-Falcone R,Dalton WS,Jove R. STAT proteins as novel targets for cancer therapy. Signal transducer an activator of transcription [J]. *Curr Opin Oncol*,1999,11(6):490–496.
- [7] Catlett-Falcone R,Landowski TH,Oshiro MM,J,et al. Constitutive activation of Stat3 signaling confers resistance to apoptosis in human U266 myeloma cells [J]. *Immunity*,1999,10(1):105–115.
- [8] Turkson J,Jove R. STAT proteins: novel molecular targets for cancer drug discovery [J]. *Oncogene*,2000,19(56):6613–6626.
- [9] Zuo M,Li C,Lin J,et al. LLL12,a novel small inhibitor targeting STAT3 for hepatocellular carcinoma therapy[J]. *Oncotarget*,2015,6(13):10940–10949.
- [10] Lin L,Benson DM Jr,DeAngelis S,et al. A small molecule, LLL12 inhibits constitutive STAT3 and IL-6-induced STAT3 signaling and exhibits potent growth suppressive activity in human multiple myeloma cells[J]. *Int J Cancer*,2012,30(6):1459–1469.
- [11] Ball S,Li C,Li PK,et al.The small molecule, LLL12,inhibits STAT3 phosphorylation and induces apoptosis in medulloblastoma and glioblastoma cells [J]. *PLoS One*,2011,6(4):e18820
- [12] Onimoe GI,Liu A,Lin L,et al. Small molecules, LLL12 and FLLL32, inhibit STAT3 and exhibit potent growth suppressive activity in osteosarcoma cells and tumor growth in mice[J]. *Invest New Drugs*,2012,30(3):916–926.
- [13] Leong PL,Andrews GA,Johnson DE,et al. Targeted inhibition of Stat3 with a decoy oligonucleotide abrogates head and neck cancer cell growth [J]. *Proc Natl Acad Sci USA*,2003,100(7):4138–4143.
- [14] Turkson J,Kim JS,Zhang S,et al. Novel peptidomimetic inhibitors of signal transducer and activator of transcription 3 dimerization and biological activity [J]. *Mol Cancer Ther*,2004,3(3):261–269.
- [15] Wernig G,Kharas MG,Okabe R,et al. Efficacy of TG101348,a selective JAK2 inhibitor,in treatment of a murine model of JAK2V617F-induced polycythemia vera [J]. *Cancer Cell*,2008,13(4):311–320.